Научно-практическая конференция «Современные возможности цифровых систем в повышении качества и эффективности лучевой диагностики»

## Дозы облучения при КТисследованиях в медицинских учреждениях РБ

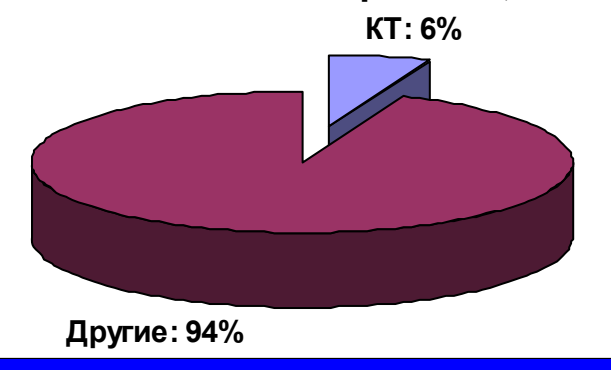
Хоружик С.А.<sup>1</sup>, Кандыбович Д.С.<sup>1</sup>, Гацкевич Г.В.<sup>1</sup>, Мацкевич С.А.<sup>2</sup>, Бичан Ж.В.<sup>2</sup>, Уголькова С.А.<sup>3</sup>, Семенов С.В.<sup>3</sup>

<sup>1</sup> ГУ «НИИ онкологии и мед. радиологии им. Н.Н. Александрова», г. Минск <sup>2</sup> ГУ «РНПЦ радиационной медицины и экологии человека», г. Гомель <sup>3</sup> УОЗ «Витебский обл. клинический онкологический диспансер», г. Витебск

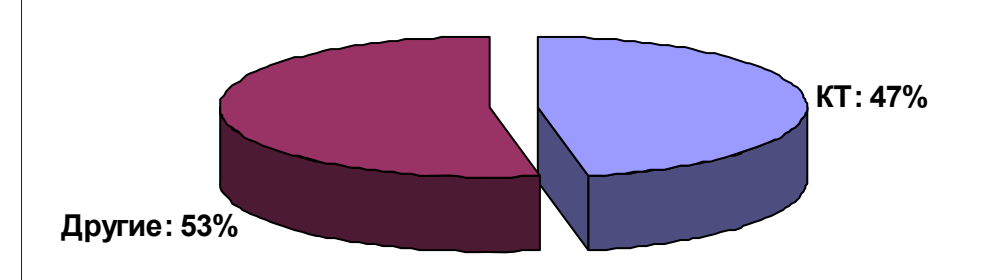
Минск, 6 декабря 2007 г.

### Вклад КТ в медицинское облучение

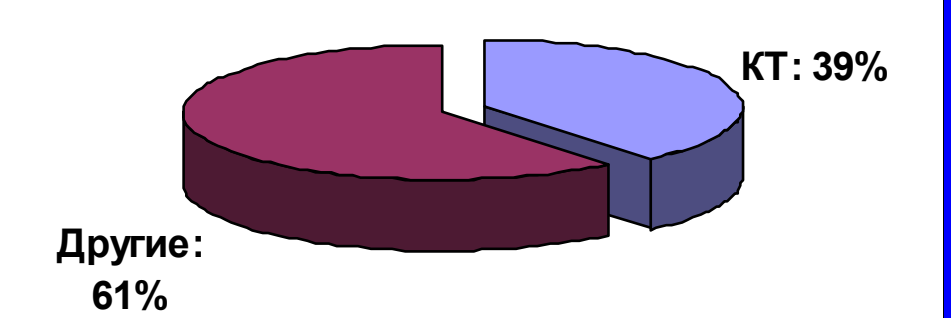
Соотношение рентгенологических исследований в Германии, 2005 г.



Вклад в коллективную дозу облучения в Германии, 2005 г.



Соотношение ренттенологических исследований в НИИ ОМР, 2006 г.



Kalender, 2005

Собственные данные

# Проект технического сотрудничества с МАГАТЭ В Y Е 6007

«Создание системы гарантии качества и контроля качества процедур и приборов для получения медицинских изображений»

**Компьютерная томография** 

**Ядерная** медицина

Срок реализации: 2005-2007 гг.

Учреждение-участник: ГУ «НИИ онкологии и медицинской радиологии им. Н.Н. Александрова»

## Что сделано?

- 1. Разработаны и утверждены МЗ РБ 2 инструкции по применению:
- -«Протокол контроля качества работы рентгеновских компьютерных томографов» (утверждена МЗ РБ 26.06.06, рег. № 192-1205)
- -«Протокол контроля качества работы аппаратов и приборов ядерной медицины» (рег. №056-0606)
- 2. Проведено 2 республиканских семинара на базе НИИ ОМР в ноябре 2006 г.:
- -«Создание системы гарантии качества и контроля качества процедур и приборов для получения медицинских КТ-изображений» -«Создание... в ядерной медицине»

В каждом семинаре приняли участие по 30 человек – заведующие и врачи из г. Минска и всех областей РБ

МИНИСТЕРСТВО ЗДРАВООХРАНЕНИЯ РЕСПУБЛИКИ БЕЛАРУСЬ

МИНИСТЕРСТВО ЗДРАВООХРАНЕНИЯ РЕСПУБЛИКИ БЕЛАРУСЬ

ПРОТОКОЛ КОНТРОЛЯ КАЧЕСТВА РАБОТЫ АППАРАТОВ И ПРИБОРОВ ЯДЕРНОЙ МЕДИЦИНЫ

Инструкция по применению

ПРОТОКОЛ КОНТРОЛЯ КАЧЕСТВА РАБОТЫ РЕНТГЕНОВСКИХ КОМПЬЮТЕРНЫХ ТОМОГРАФОВ

Инструкция по применению

Минск 2006

Минск 2006

## Что сделано?

- 3. Закуплено оборудование:
- -Для контроля качества КТ (для НИИ ОМР, Гродно, Витебска, Гомеля)
- -Для КТ-дозиметрии (для НИИ ОМР, Витебска, Гомеля)
- -Для контроля качества гамма-камер (для НИИ ОМР)
- 4. Разработана и внедрены в практическое использование методика КТ-дозиметрии. Впервые в республике проведено измерение доз облучения при основных видах КТ-исследований сразу в нескольких медицинских учреждениях на сканерах разного класса

## Что сделано?

5. Приняты в НИИ ОМР 2 зарубежных эксперта



6. Проведено 2 научных визита и 3 стажировки

## Дозиметрические параметры при КТ и их практическое значение

Параметр, ед.измер.	Расшифровка	Что означает?	Для чего предназначен?
<b>СТDI</b> , мГр	Компьютерно- томографичес- кий индекс дозы	Поглощенная доза в одном томографическом срезе	1. Контроль качества компьютерной томографии 2. Нормирование дозы облучения при КТ (диагностические контрольные уровни)
DLP, мГр×см	Произведение доза-длина	Поглощенная доза за все КТ- исследование	Нормирование дозы облучения при КТ (диагностические контрольные уровни)
Е, мЗв	Эффективная доза	Сумма взвешенных поглощенных доз во всех органах и тканях человека	1. Оценка биологического риска облучения 2. Сравнение с дозой облучения при других РГ-исследованиях

## Способы оценки доз облучения при КТ-исследованиях

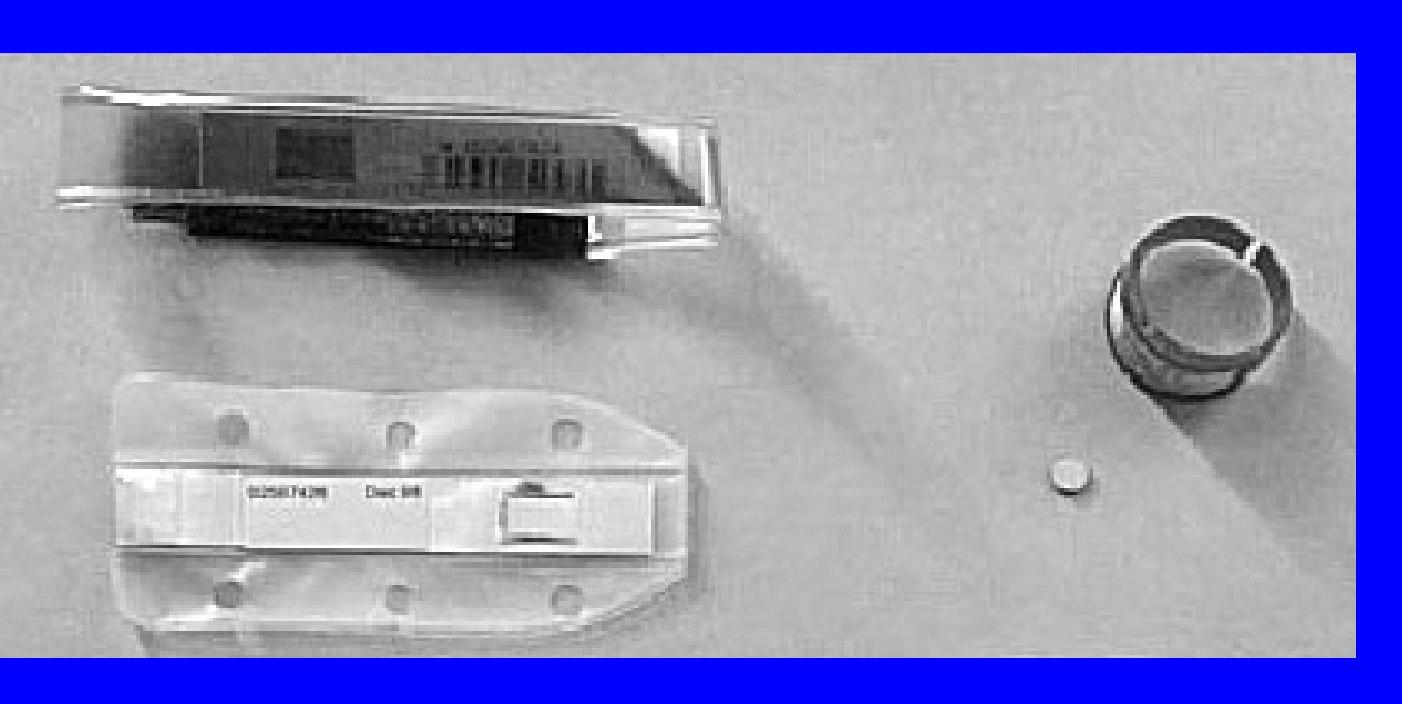
- 1. Фантомные измерения с использованием:
- -Термолюминисцентных дозиметров (TLD)
- -Ионизационной камеры
- 2. Информация производителя КТ-сканера
- 3. Использование специальных программ расчета доз облучения

## Способы оценки доз облучения при КТ-исследованиях

- 1. Фантомные измерения наиболее точный метод оценки КТ-дозы
- 2. Информация производителя КТ-сканера
- 3. Использование специальных программ расчета доз облучения

## Термолюминисцентная дозиметрия (TLD)

TLD-дозиметр содержит субстанцию (фторид лития), которая после обучения испускает свет пропорционально поглощенной дозе

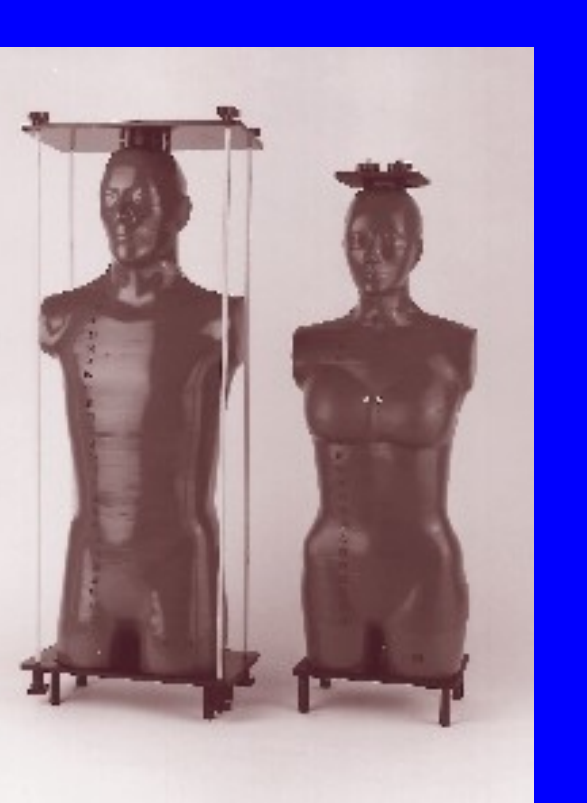




## TLD в компьютерной томографии

Служит для оценки детального распределения дозы

Фантом RANDO – натуральный человеческий скелет, помещенный в тканеэквивалентный пластик. Легочная ткань симулируется с помощью материала низкой плотности. Разделен на слои 2,5 см толщиной с просверленными отверстиями для размещения TLD







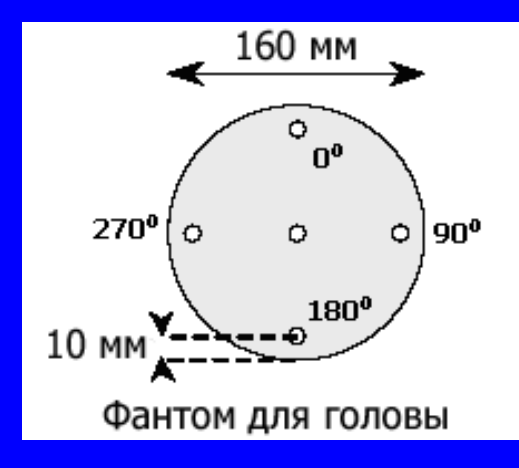
## Оборудование для КТ-дозиметрии

- 1. РММА\* фантом для головы 16 см в диаметре
- 2. РММА фантом для туловища 32 см в диаметре
- 3. Дозиметр UNIDOS E для измерения CTDI
- 4. Ионизационная камера с длиной зоны измерения 10 см \* РММА полиметилметакрилат (пластик)



Комплект для КТ-дозиметрии фирмы PTW Freiburg

Cтоимость = 6952 Eвро



## Наличие дозиметрического оборудования в РБ

Полный комплект оборудования для КТ-дозиметрии поступил по проекту МАГАТЭ BYE6007 в следующие учреждения:

- 1. ГУ «НИИ онкологии и медицинской радиологии им. Н.Н. Александрова», г. Минск
- 2. ГУ «РНПЦ радиационной медицины и экологии человека», г. Гомель
- 3. УОЗ «Витебский областной клинический онкологический диспансер», г. Витебск

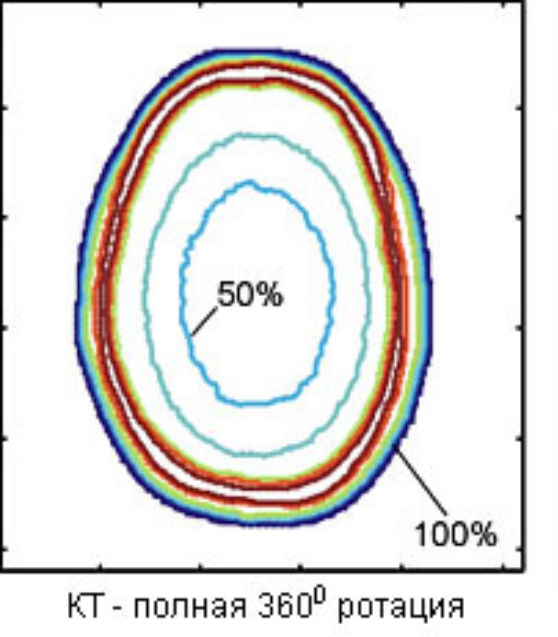
## Измерение CTDI

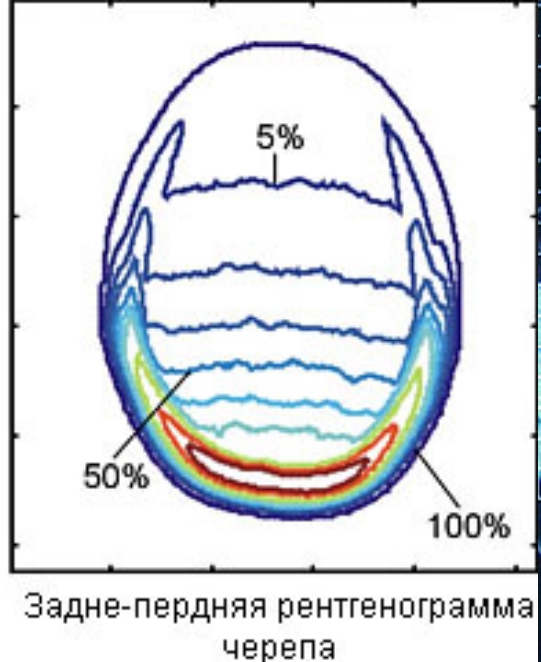
CTDI – измеряемый дозиметрический параметр при КТ, характеризующий поглощенную дозу в одном томографическом срезе

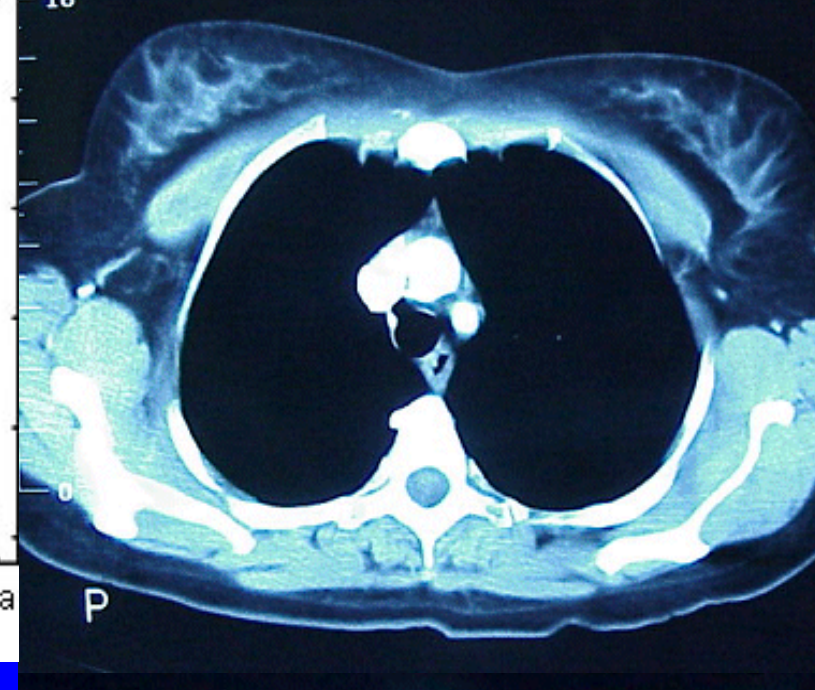


$$CTDI = \frac{1}{S} \cdot \int_{-50 \,\text{MM}}^{+50 \,\text{MM}} D(z) dz$$

, где S – коллимация среза





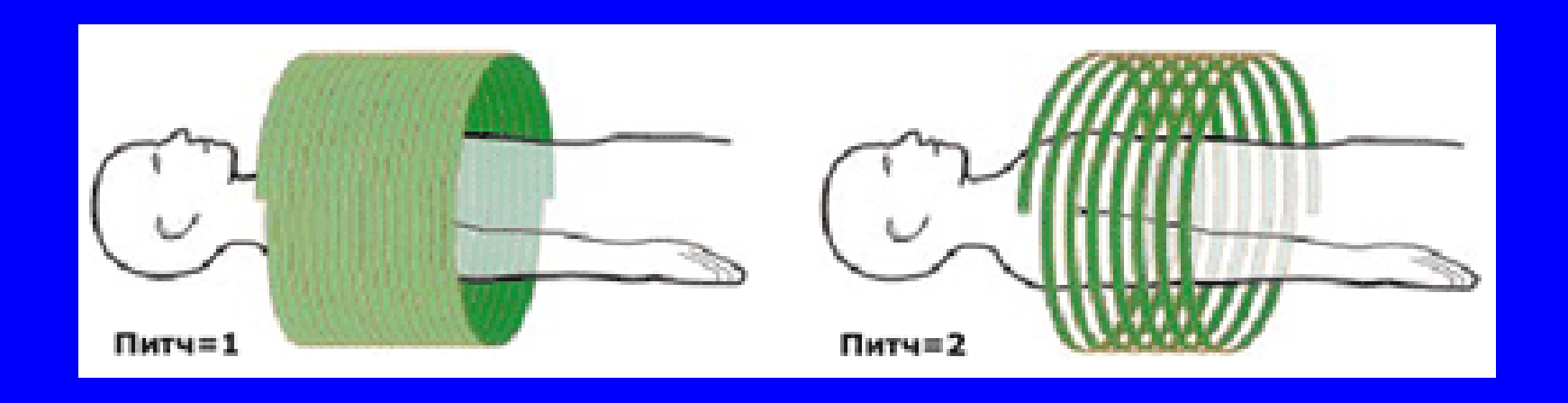


Максимальная доза облучения при КТ приходится на поверхностно расположенные ткани (хрусталик, щитовидная и молочная железа)

$$CTDIw = \frac{1}{3}CTDIc + \frac{2}{3}CTDIp$$



## Особенности дозиметрии на СКТ и МСКТ



$$CTDIvol = \frac{CTDIw}{p}$$

$$p = \frac{d}{S}$$

Питч р это отношение сдвига стола за полный оборот (360°) трубки d к коллимации среза S

### Расчет DLP

В отличие от CTDI, который измеряется, DLP и эффективная доза являются расчетными величинами от CTDI

$$DLP = \sum_{i} CTDIw \cdot L$$

где L – длина зоны сканирования, і – количество сканирований

Исследование пациента может состоять из нескольких сканирований, например, головной мозг + грудная клетка, или до и после в/в введения контрастного вещества. В этом случае DLP всех сканирований необходимо суммировать

### Расчет эффективной дозы

$$E = DLP \cdot E_{DLP}$$

где E<sub>DLP</sub> — коэффициент пересчета, или нормализованная эффективная доза для конкретной зоны исследования\*

Уровень исследования	E <sub>DLP</sub> , мЗв/мГрхсм
Головной мозг	0,0023
Шея	0,0054
Грудная полость	0,017
Брюшная полость	0,015
Таз	0,019

<sup>\*</sup> Европейское руководство по критериям качества для компьютерной томографии, EUR 16262 (1999), http://www.drs.dk/guidelines/ct/quality

## Расчет эффективной дозы у детей

Поскольку дети более чувствительны к ионизирующему излучению, Е умножают на повышающий коэффициент, зависящий от возраста ребенка\*:

Возраст	Голова и шея	Грудная полость	Брюшная полость и таз
Взрослые	1,0	1,0	1,0
15 лет	1,1	1,0 - 1,1	1,0 - 1,1
10 лет	1,2 – 1,3	1,1 - 1,4	1,2 – 1,5
5 лет	1,6 – 1,7	1,2 – 1,6	1,2 – 1,6
1 год	2,2	1,3 – 1,9	1,3 – 2,0
Новорожденные	2,3 – 2,6	1,4 – 2,2	1,4 – 2,4

<sup>\*</sup> Khursheed A, Hillier MC, Shrimpton PC and Wall BF. Influence of patient age on normalized effective doses calculated for CT examinations. Br. J. Radiol. 2002; 75:819-830

## КТ-дозиметрия в медицинских учреждениях РБ

#### Цель:

Измерить дозы облучения в РБ при основных видах КТ-исследований:

- -Головной мозг
- -Шея (мягкие ткани)
- -Грудная полость
- -Брюшная полость
- -Таз

#### Организация:

Семь КТ-сканеров в шести медицинских учреждениях

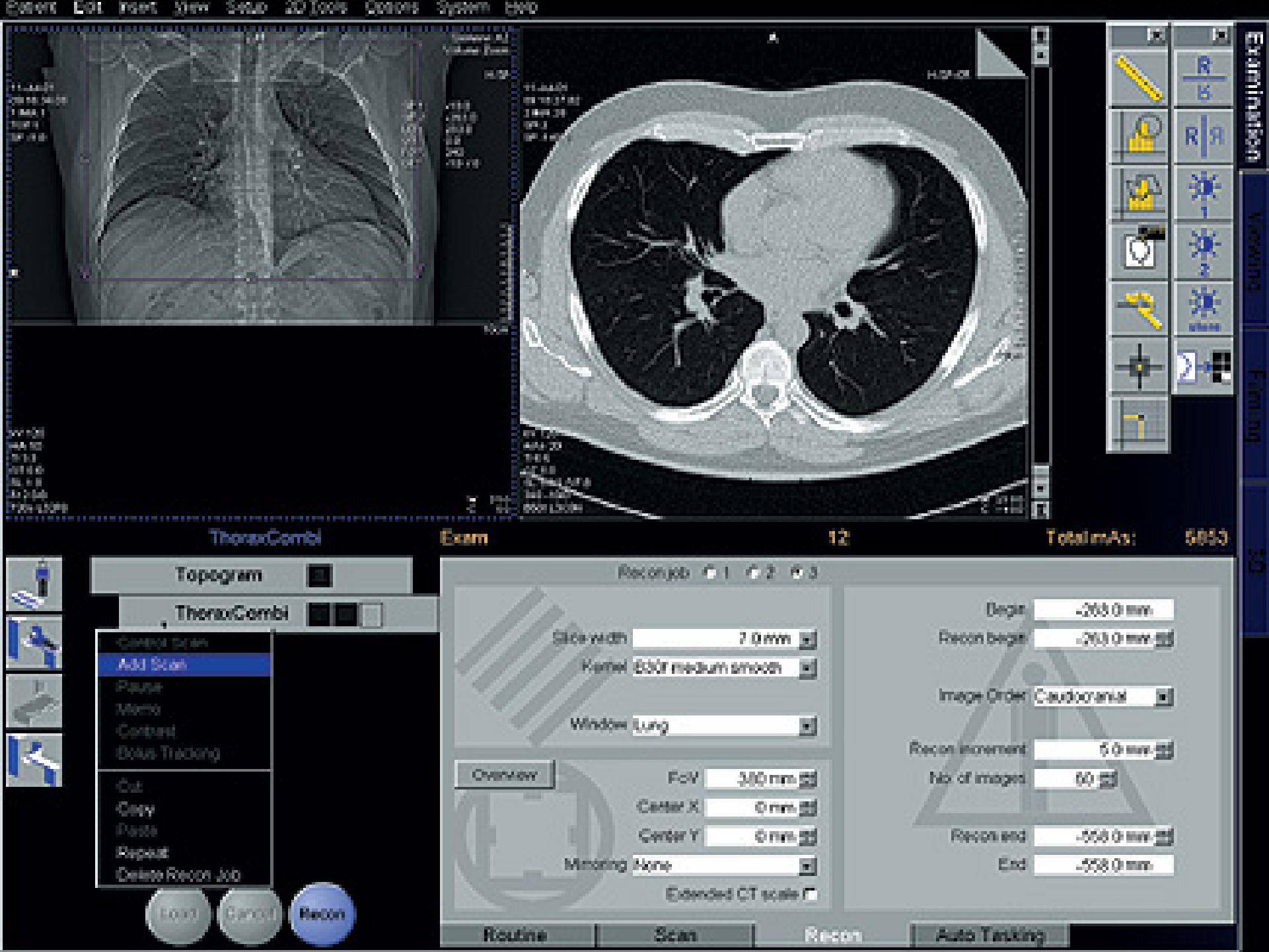
#### Этапы исследования:

- 1. Сбор протоколов КТ-исследований
- 2. Измерение доз облучения
- 3. Анализ полученных результатов

## КТ-сканеры, участвующие в исследовании

Nº u\u	Производитель	Название	Тип	Год установки
Сканер 1	Siemens	Somatom Volume Zoom	MCKT-4	2002
Сканер 2	GE	Light Speed RT	MCKT-4	2005
Сканер 3	Siemens	Somatom Emotion 6	МСКТ-6	2005
Сканер 4 *	Philips	Tomoscan SR 4000	СКТ	1996
Сканер 5	GE	Hi Speed CT/e	СКТ	2002
Сканер 6	GE	Tomoscan CX/Q	ПКТ	1990
Сканер 7	Siemens	Somatom AR-C	ПКТ	1995

МСКТ – многосрезовые, СКТ – спиральные, ПКТ – последовательные \* Детская больница



### Параметры протокола КТ-исследования, влияющие на дозу облучения

Параметр	Влияние на дозу облучения
Сила тока в рентгеновской трубке, мА	↑ прямо пропорционально
Напряжение в рентгеновской трубке, кВ	↑ на 20-40% при увеличении с 120 до 140 кВ
Время ротации, секунд	↑ прямо пропорционально
Коллимация среза, мм	Тоньше коллимация – больше доза, особенно в МСКТ
Сдвиг стола за ротацию, см (скорость движения стола, питч)	<b>↓</b>
Длина зоны сканирования, см	<b>↑</b>
Конфигурация детектора (геометрическая эффективность)	↑↓ особенно в МСКТ
Количество сканирований	$\uparrow \uparrow$

№	Параметр	Головной	Шея	Грудная	Брюшная	Tas
п/п		MORL		полость	полость	
	Π	Іараметры пр	отоко да исс.	педования		
1.	Название протокола	Brain-	Larynx	Mediastinum	Abdomen-	Pelvis-
		standart	rai yiix	Michiasminii	general	general
2.	Технология	Послед.	Послед.	Послед.	Послед.	Послед.
	сканирования					
3.	Напряжение, кВ	12		120	120	
4.	Сила тока, мА	9(		110	11	
5.	Время ротации, сек	4,		2,8	4,	
б.	мAc	40		308	49	
7.	Коллимация, мм	5		10	10	
8.	Сдвиг стола/рот., мм	5		10	10	
9.	Длина зоны	1:	τ.	30	25	20
	сканирования, см	1.	,	20	4.7	20
10.	Коэф, пересчета в Е	0,0023	0,0054	0,017	0,015	0,019
		Результаты и	вмерений и	расчетов		
Изм	ерения	1		2	(F)	;
1.	Показание в центре	27,	,2	12,3	19,4	
2.	CTDIc, мГр	54,	,4	12,3	19,4	
3.	Показание на 0°	32,	,3	30,8	34,0	
4.	Показание на 90°	31,1		2,9	42,1	
5.	Показание на 180°	27,0		27,3	37,8	
б.	Показание на 270°	29,2		33,8	34,9	
7.	CTDIp, мГр	64,6		33,8	42,1	
8.	CTDIw, мГр	61,2		26,6	34	,5
9.	DLP, мГрхсм	91	8	798	863,3	690
10.	Е, м3в	2,1	5,0	13,6	13,0	13,1

## Измерение доз облучения

#### Что измеряли?

- -Показание дозиметра в центре фантома для головы или туловища
- -Показание дозиметра на периферии фантома на 0°
- -Показание на 90°
- -Показание на 180°
- -Показание на 270°

#### Рассчитывали:

- -CTDIc, мГр
- -CTDIp, мГp
- -CTDIw, мГр
- -CTDIvol, мГр
- -DLP, мГрхсм
- -Е, мЗв

$$CTDI = \frac{1}{S} \cdot \int_{-50_{MM}}^{+50_{MM}} D(z) dz$$

$$CTDIw = \frac{1}{3}CTDIc + \frac{2}{3}CTDIp$$

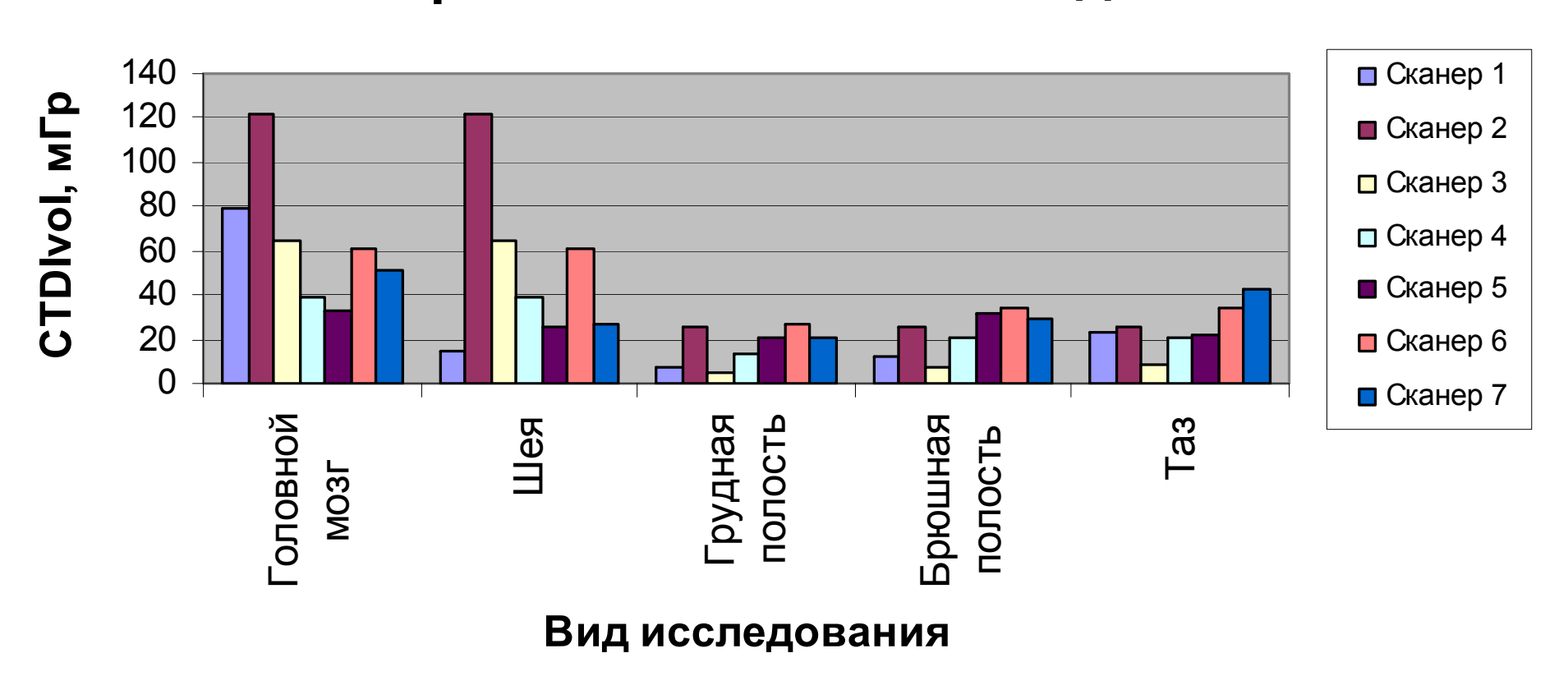
$$CTDIvol = \frac{CTDIw}{p}$$

$$DLP = \sum_{i} CTDIw \cdot L$$
  $E = DLP \cdot E_{DLP}$ 

$$E = DLP \cdot E_{DLP}$$

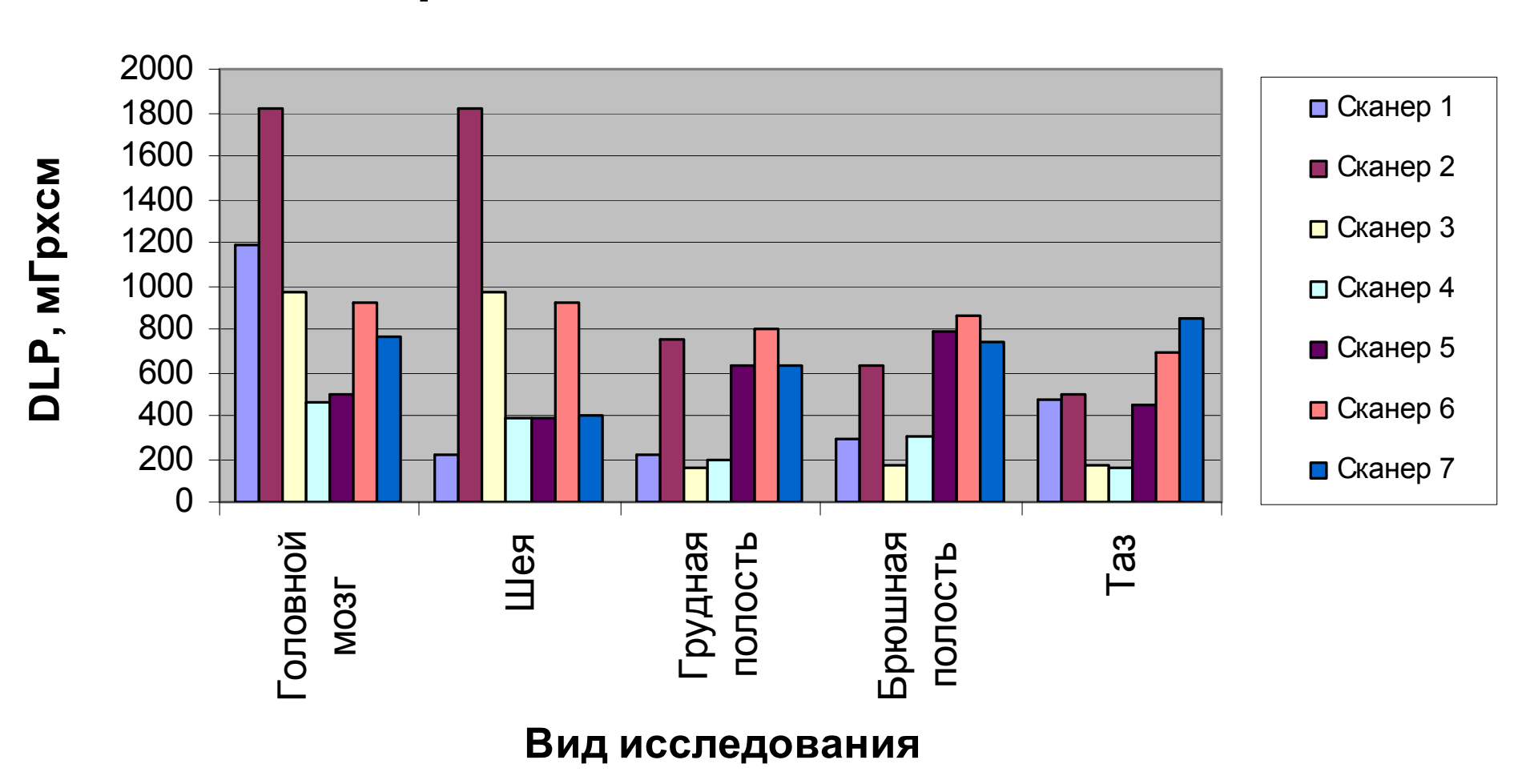
### Результаты дозиметрии: CTDI

#### CTDI при основных КТ-исследованиях



## Результаты дозиметрии: DLP

#### **DLP** при основных КТ-исследованиях



#### 1996: CKT



Толщина среза 5 мм

40 см за 50 сек

Время рот. 1 сек

200 изображений

Толщина среза 0,75 мм

70 см за 29 сек

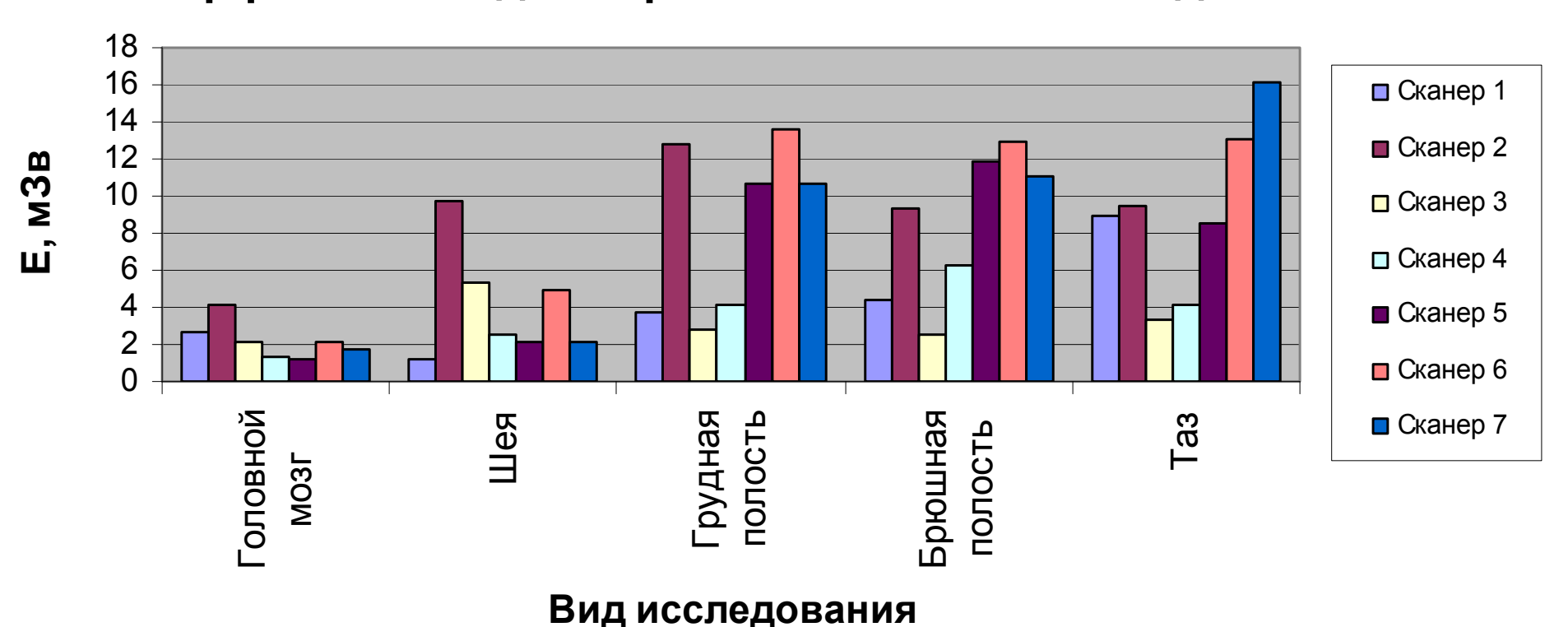
Время рот. 0,5 сек

1400 изображений



## Результаты дозиметрии: эффективная доза

#### Эффективная доза при основных КТ-исследованиях



## Эффективная доза значительно варьировала между сканерами

Эффективная доза	ГМ	Шея (мягкие ткани)	ГК	БΠ	Таз
Среднее ±SD, мЗв	2,2 ±1,0	4 ±3,0	8,3 ±4,6	8,4 ±4,0	9,1 ± 4,5
Интервал, м3в	1,2-4,2	1,2-9,8	2,8-13,6	2,5-13	3,3-16,1
Отношение макс./мин.	3,5	8,2	4,9	5,2	4,9

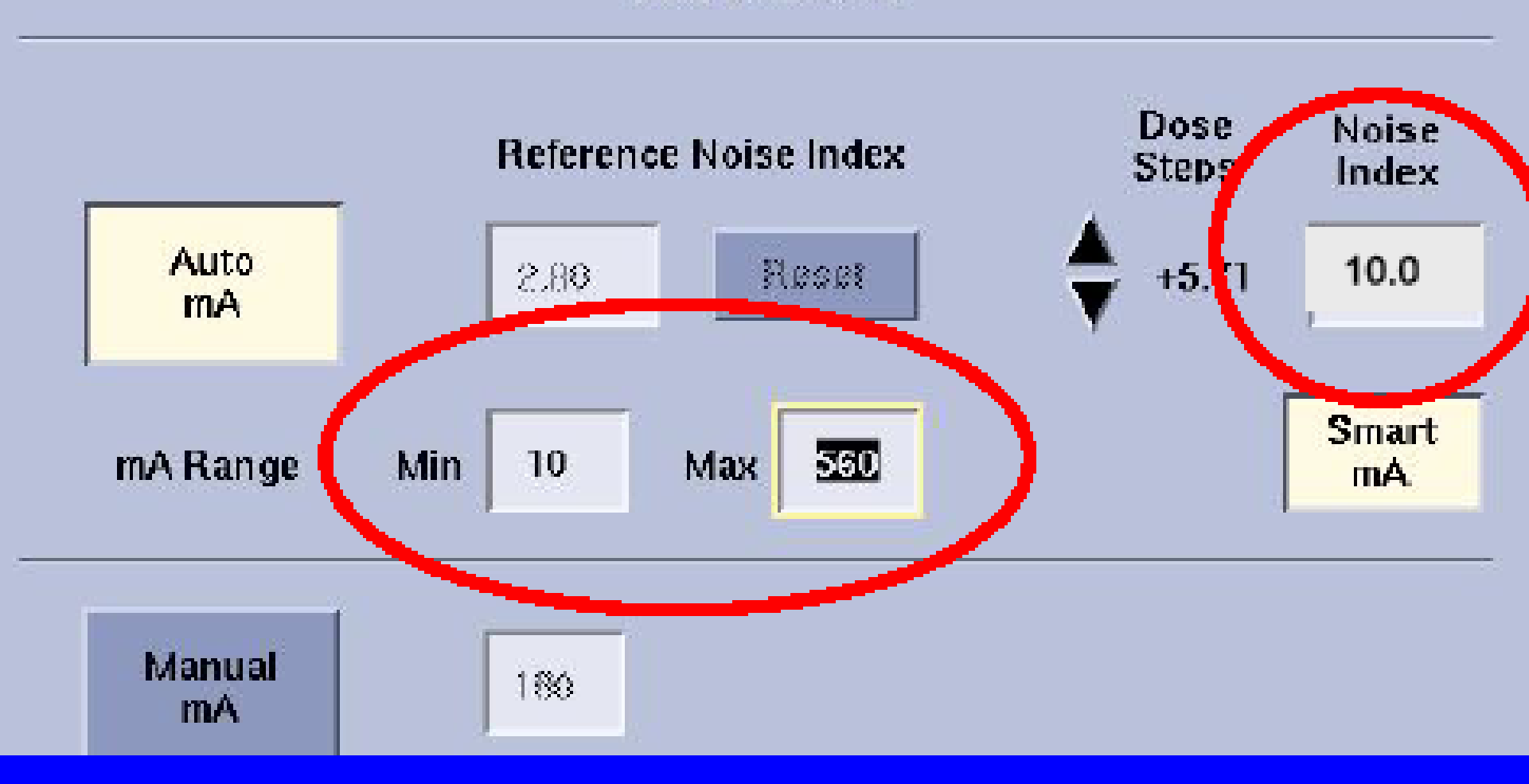
## Доза облучения зависит главным образом от мАс

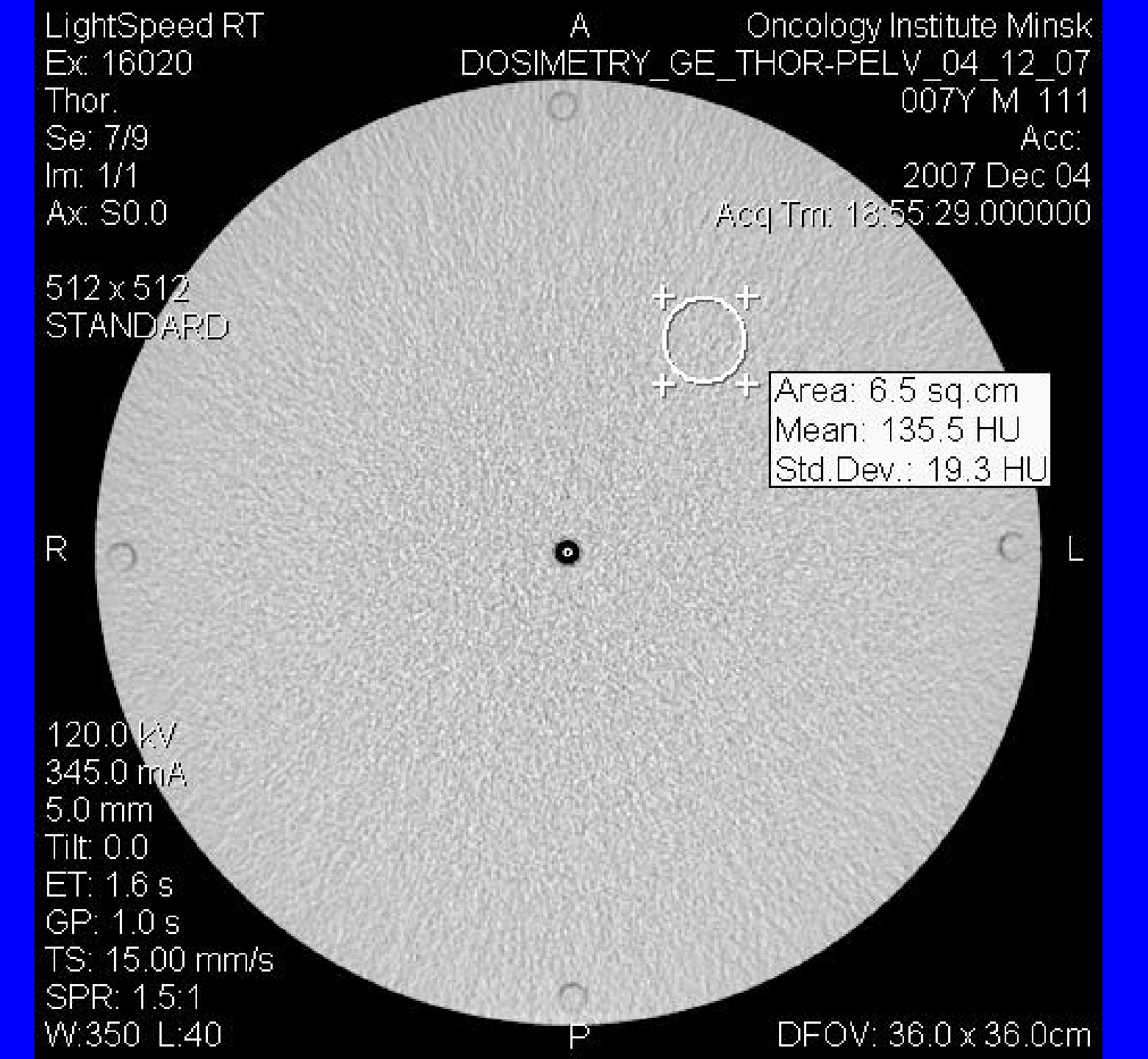
	Головной мозг	Грудная полость	Брюшная полость	Таз
Min E, м3в	1,2	2,8	2,5	3,3
,	Сканер 5	Сканер 3	Сканер 3	Сканер 3
Min мAc	200	105	143	158
	Сканер 5	Сканер 3	Сканер 3	Сканер 3
Мах Е, мЗв	4,2	13,6	13	16,1
	Сканер 2	Сканер 6	Сканер 6	Сканер 7
Мах мАс	600	308	495	495
	Сканер 2	Сканер 6	Сканер 6	Сканер 6

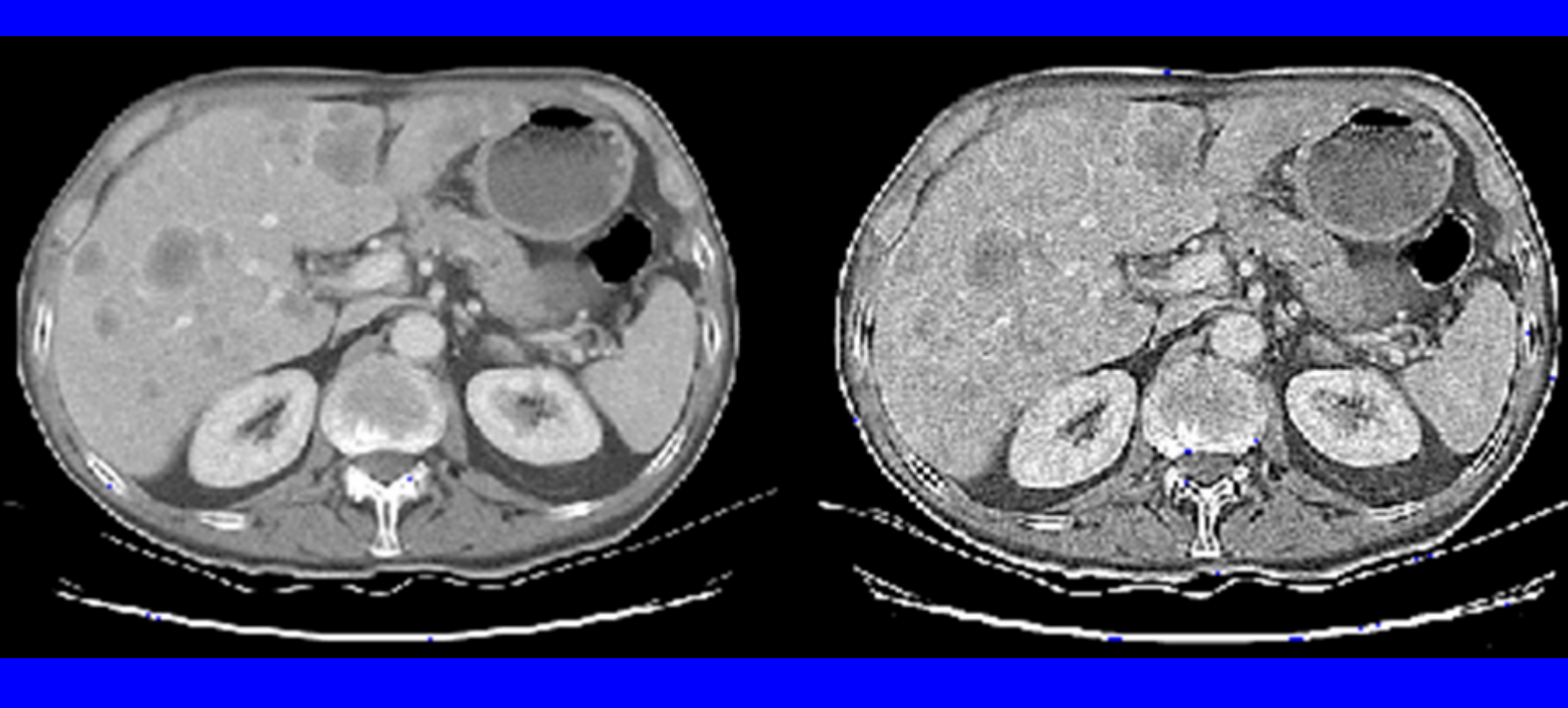
## Доза облучения зависит главным образом от мАс

	Головной мозг	Грудная полость	Брюшная полость	Таз
Min E, м3в	1,2	2,8	2,5	3,3
,	Сканер 5	Сканер 3	Сканер 3	Сканер 3
Min мAc	200	105	143	158
	Сканер 5	Сканер 3	Сканер 3	Сканер 3
Мах Е, мЗв	4,2	13,6	13	16,1
	Сканер 2	Сканер 6	Сканер б	Сканер 7
Мах мАс	600	308	495	495
	Сканер 2	Сканер 6	Сканер 6	Сканер 6

#### mA Control

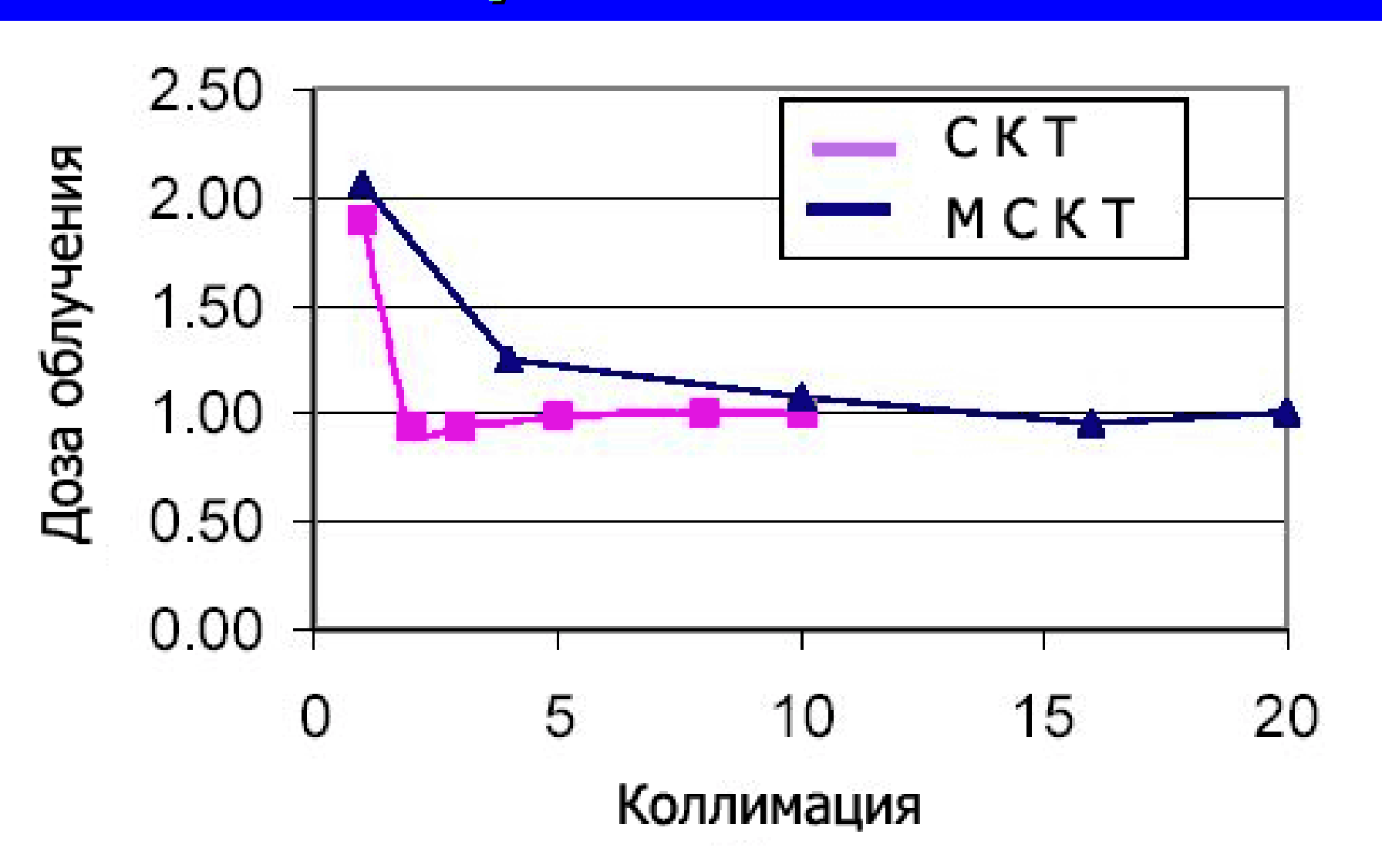






CTDI = 35,4 мГр Шум=17 HU CTDI = 11,2 мГр Шум=70 HU

### Доза облучения зависит от коллимации



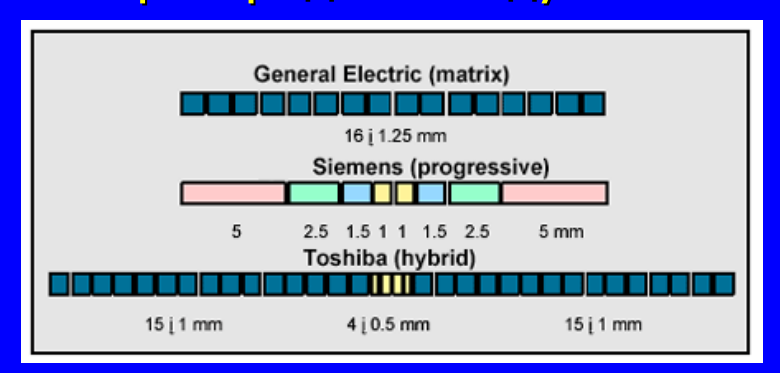
#### Геометрическая эффективность детектора

Комбинированный

Это отношение ширины луча на активных детекторах к общей ширине луча. Обратно пропорциональна дозе облучения. В СКТ приближается к 100%

В МСКТ < 100% за счет:

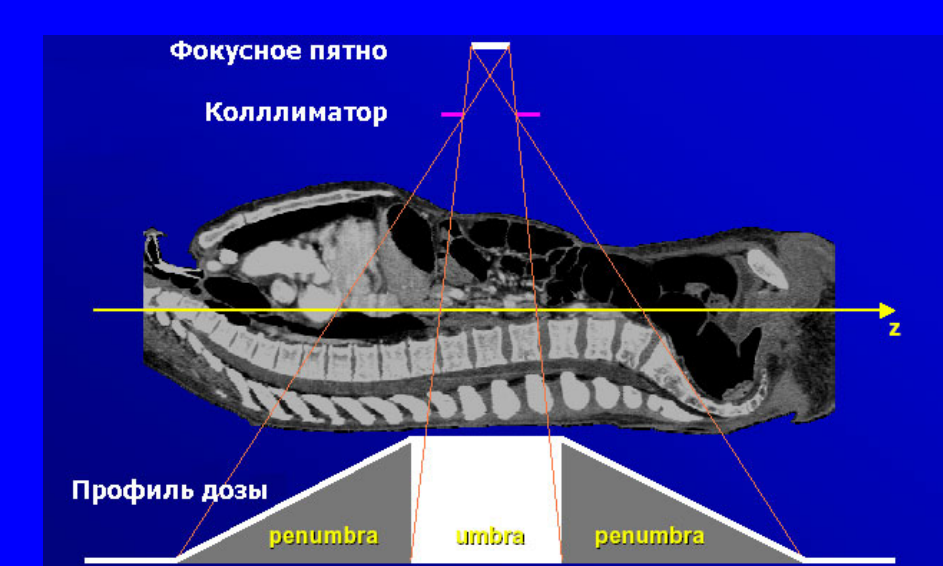
1. Перегородок между ячейками детектора (≈ 0,06 мм)



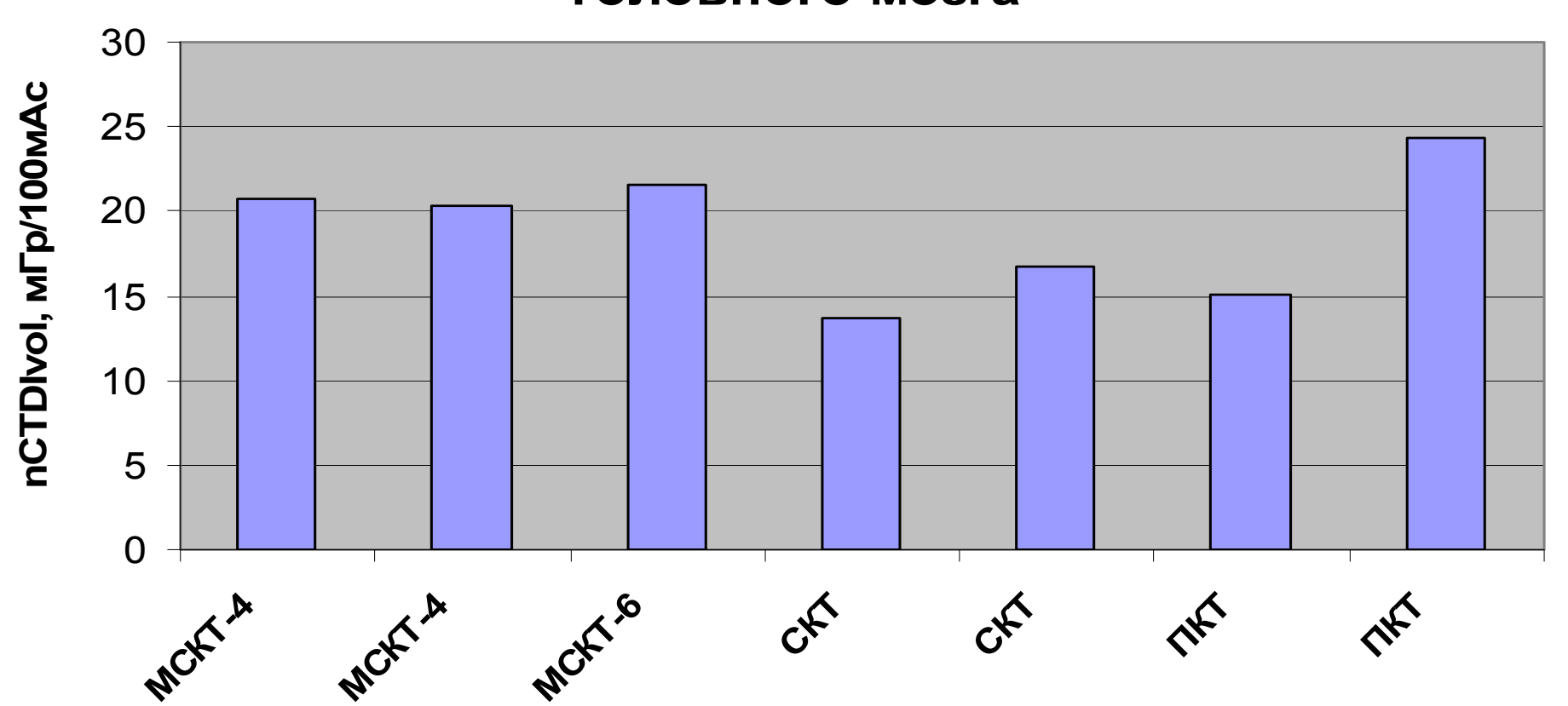
Детектор с фиксированным построением Адаптивный

2. Пенумбры — «лишняя» радиация по краям детектора. Возникает вследствие конусообразной формы луча и неточечной природы фокусного пятна

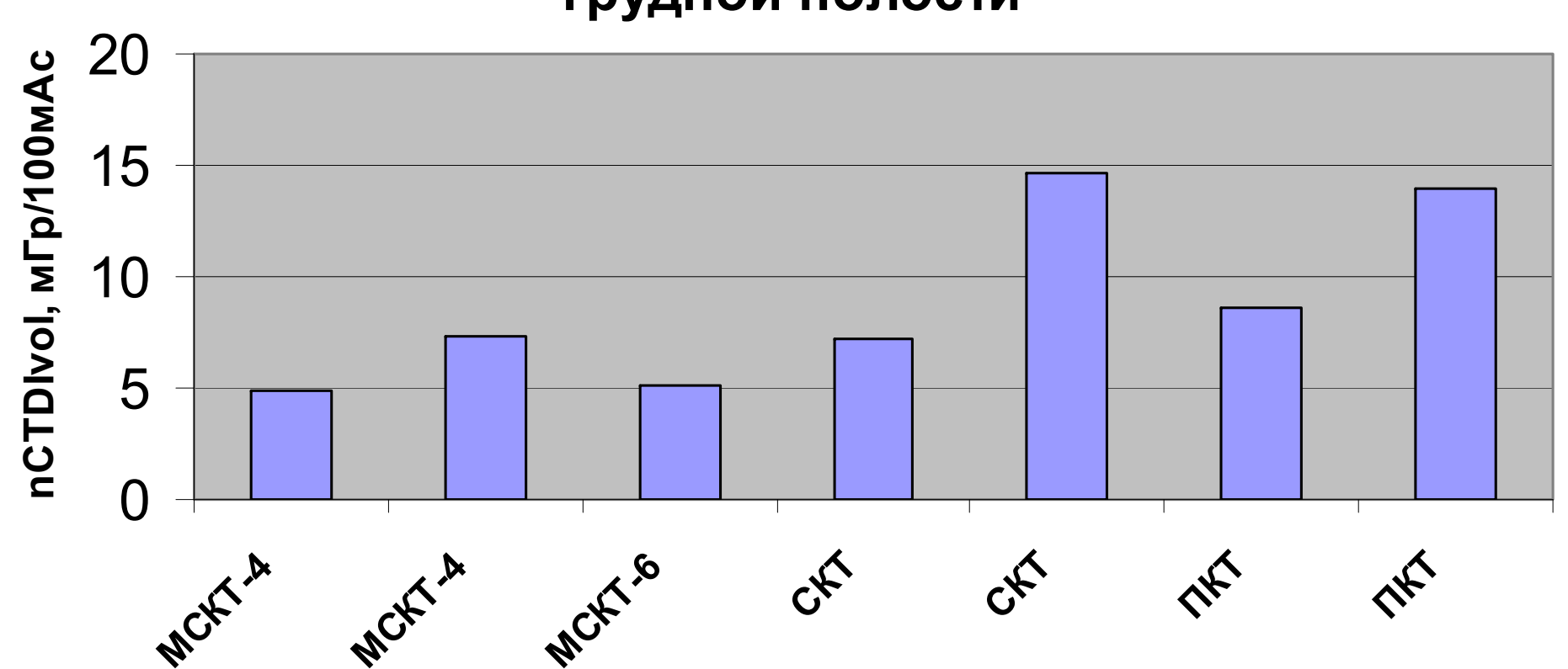
3. Пересканирования



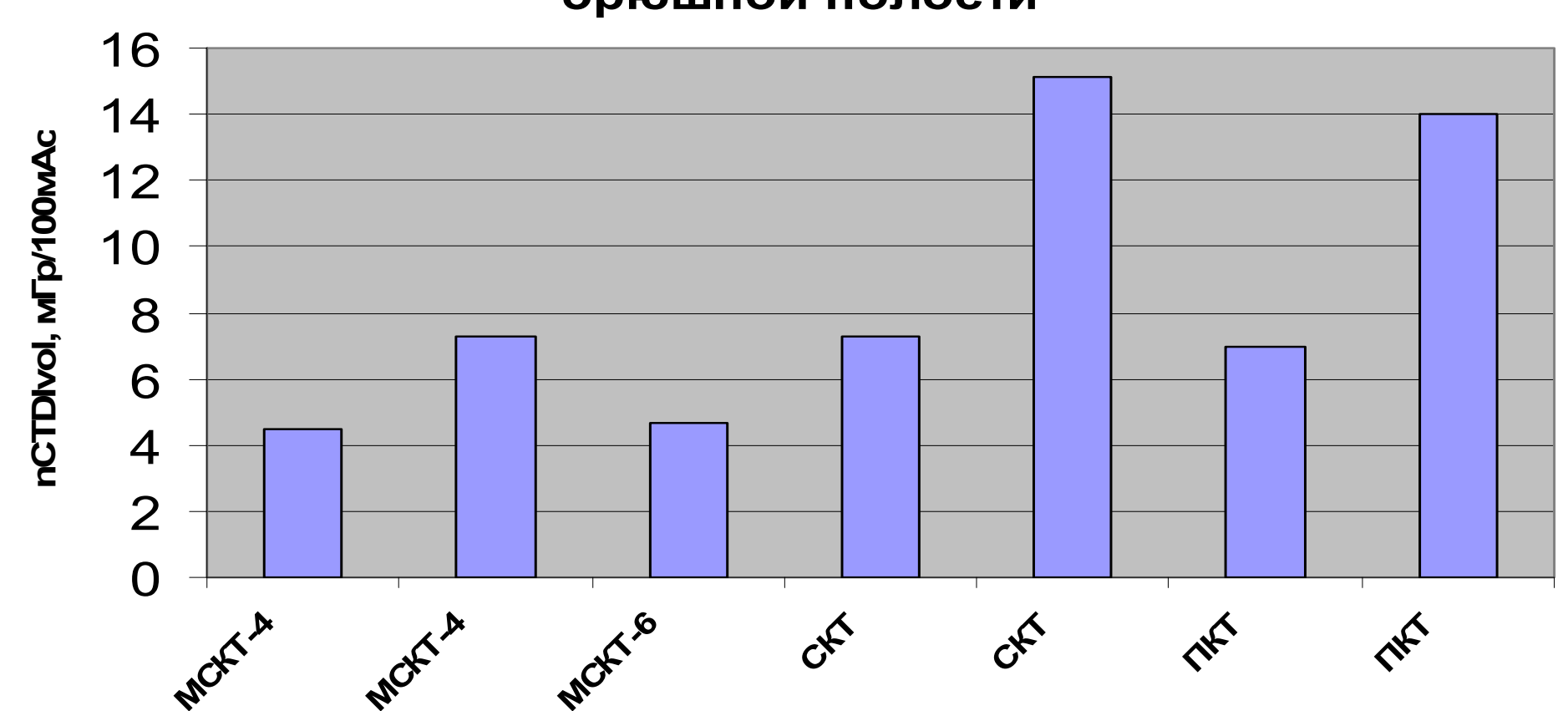
### Нормализованная доза облучения при КТ головного мозга



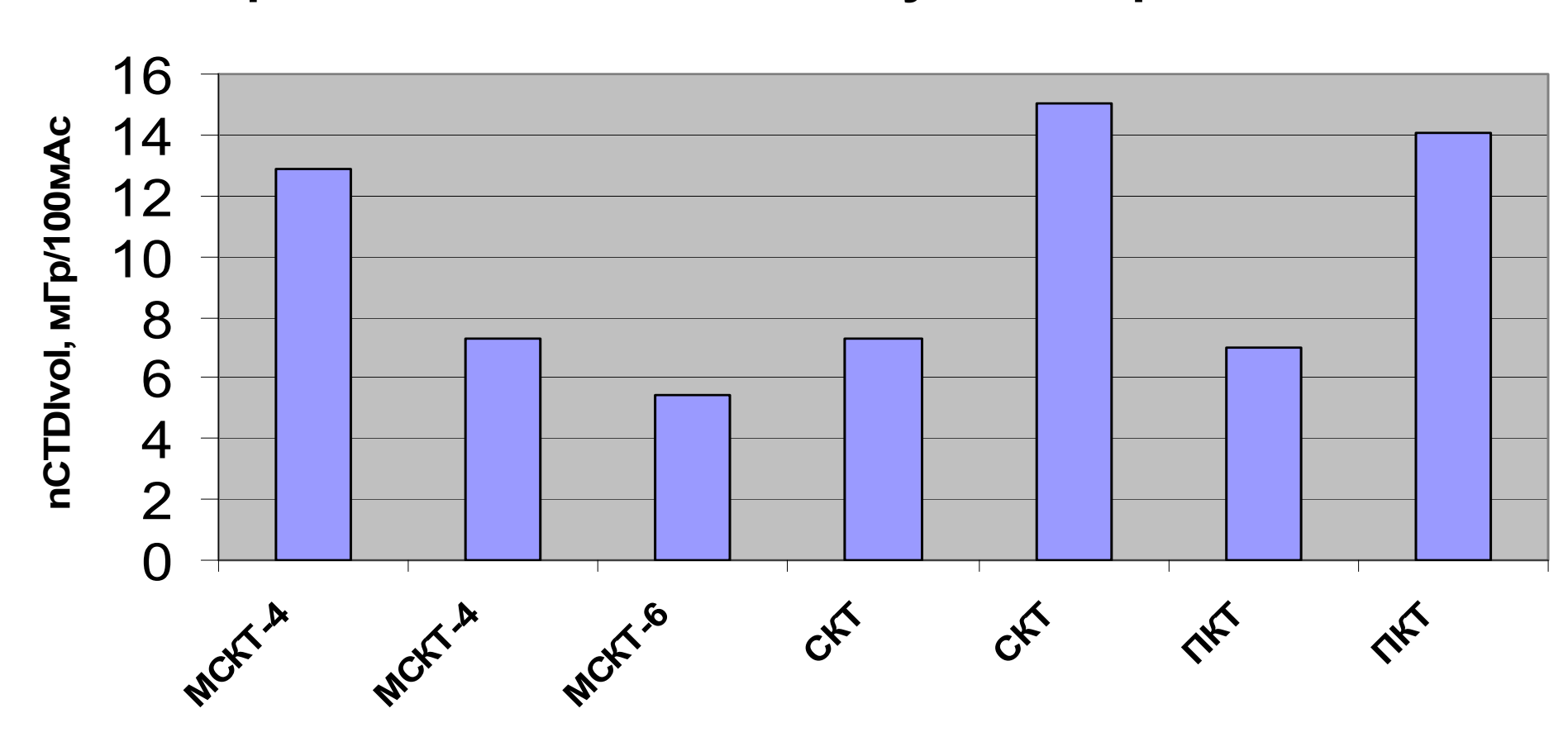
### Нормализованная доза облучения при КТ грудной полости



#### Нормализованная доза облучения при КТ брюшной полости



#### Нормализованная доза облучения при КТ таза



### Способы оценки доз облучения при КТ-исследованиях

- 1. Фантомные измерения
- 2. Информация производителя КТ-сканера
- 3. Использование специальных программ расчета доз облучения

### Информация производителя КТсканера



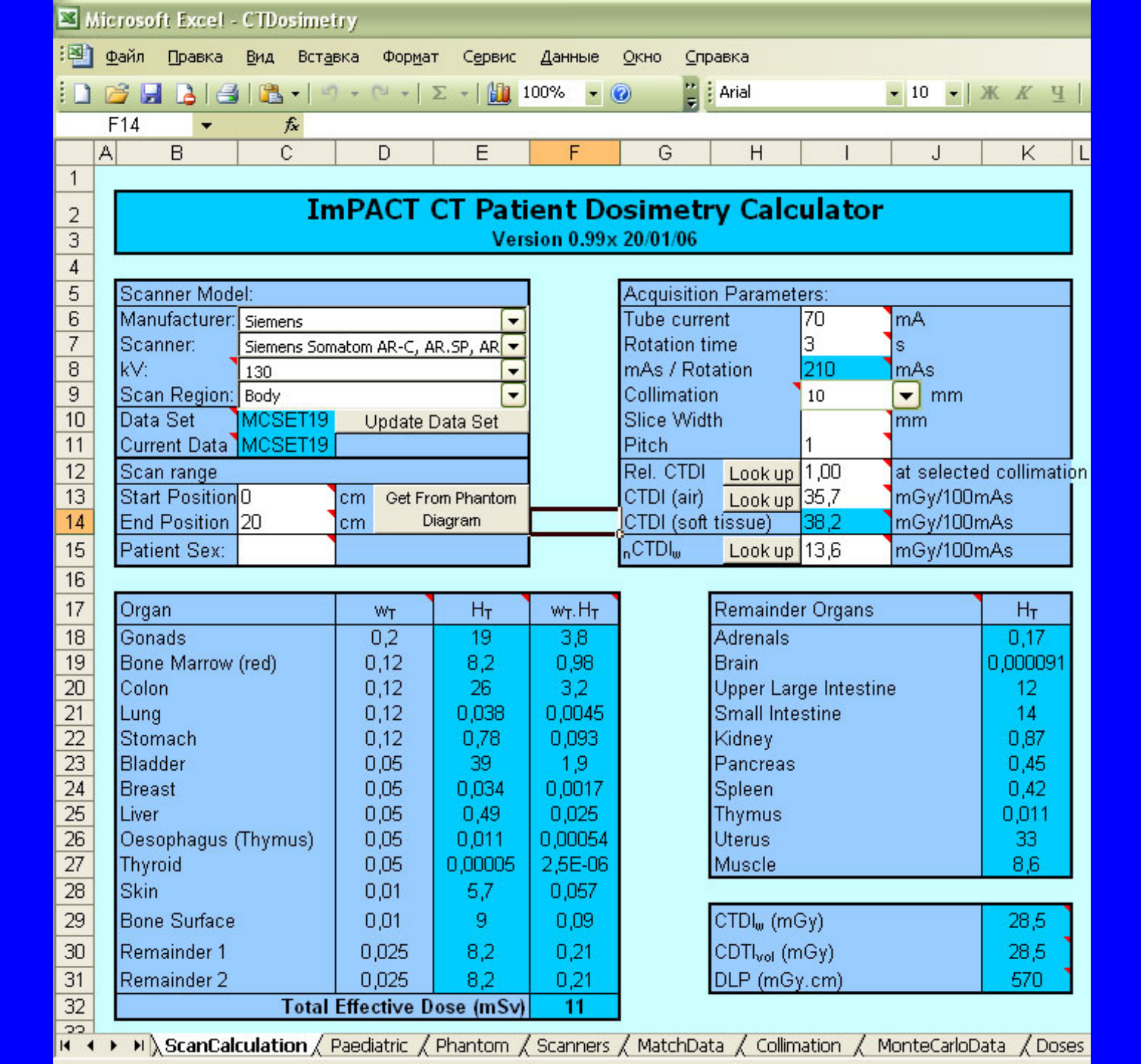
## Соответствие результатов измерений и параметров дозы на консоли оператора

CTDIvol, мГр	Головной мозг	Грудная клетка	Брюшная полость	Таз
Результаты измерения	79,2	11,0	14,6	23,6
Информация производителя	76	10,9	12,5	19,4
Разница	4%	0,9%	14%	18%

**SOMATOM Volume Zoom (Siemens)** 

### Способы оценки доз облучения при КТ-исследованиях

- 1. Фантомные измерения
- 2. Информация производителя КТ-сканера
- 3. Использование специальных программ расчета доз облучения



# Соответствие результатов измерений и расчетов по программе ImPACT Dosimetry

CTDIvol, мГр	Головной мозг	Грудная полость	Брюшная полость	Таз
Результаты измерений	79,2	7,3	11,7	23,6
Расчет по ImPACT	75	11,6	13,1	20,6
Разница	5,3%	37,1%	10,7%	12,7%

**SOMATOM Volume Zoom (Siemens)** 

#### Риск радиационно-индуцированного рака

Tissue or organ	Risk factor (× 10 <sup>-2</sup> Sv <sup>-1</sup> )
Bladder	0.30
Bone marrow (red)	0.50
Bone surfaces	0.05
Breast	0.20
Colon	0.85
Liver	0.15
Lung	0.85
Oesophagus	0.30
Ovary	0.10
Şkin	0.02
Stomach	1.10
Thyroid	0.08
Remainder	0.50
Total (rounded)	5.00

По оценкам ICRP риск радиационно-индуцированного рака равен 5х10<sup>-5</sup>/м3в

Это означает, что рак может возникнуть у 1 из 20000 людей, облученных в дозе 1 м3в

ICRP, 1991

В Великобритании 0,6% злокачественных опухолей после 75 лет обусловлены рентгенодиагностическим облучением, что составляет 700 случаев рака в год. В развитых странах этот риск составляет от 0,6: до 1,8%, а в Японии 3%

### Диагностические контрольные уровни (ДКУ)

Это рекомендуемые уровни дозы облучения при основных радиологических исследований пациентов стандартного роста и массы тела или стандартных фантомов. Ожидается, что они не будут превышаться при соблюдении стандартов диагностики и технического состояния радиологического оборудования \*

Систематическое превышение ДКУ должно стать поводом для пересмотра протоколов КТ-исследований или обоснования необходимости использования таких протоколов

\* Council Directive 97/43/EURATOM of 30 June 1997 on health protection of individuals against the danger of ionizing radiation in relation to medical exposure

### Эффективные дозы, UNSEAR, 2000

Examination	Conventional X ray dose (m\$v)	Computed tomography dose (m\$v)	
Head	0.07	2	
Teeth	< 0.1	_	
Chest	0.1	10	
Abdomen	0.5	10	
Pelvis	0.8	10	
Lower spine	2	5	
Lower bowel	6	_	
Limbs and joints	0.06	_	

### Измеренные эффективные дозы (7 сканеров)

	Головной мозг	Грудная полость	Брюшная полость	Таз
Средняя измеренная эффективная доза, мЗв	2,2	8,3	8,4	9,1
Интервал, мЗв	1,2-4,2	2,8-13,6	2,5-13	3,3-16,1
Отношение макс./мин.	3,5	4,9	5,2	4,9

Примерные	0,4	2,9	5,8	<b>5,8</b>
расчетные				
эффективные дозы, мЗв *				

<sup>\*</sup> Инструкция по применению «Контроль доз облучения пациентов при рентгено-диагностических исследованиях», МЗ РБ, 11.09.2001



2,2 м3в

4 м3в

8,3 м3в

8,4 мЗв

9,1 мЗв

= 32 m3B



### «Европейское руководство по контролю качества компьютерной томографии» (EUR 16262), 1999

- 1. Выбор методики исследования
- 2. Критерии качества диагностических изображений
- 3. Измерение доз облучения пациентов и ДКУ доз облучения



Abdomen

	von bis	Leberkuppe Symphyse	
>	Coll.	5 mm 6 mm	
NATIV	Feed/rot	30 mm	
_	Rek.Incr.	130 5 mm	
	Delay Richtung	4 Sek. cranio-caudal	

Pause	Pause	50 ml (Flow 3 ml/Sek.) 1 Minute	
		80 ml (Flow 3 ml/Sek.)	
20			

	von bis	Leberkuppe Symphyse
VENÖS	Rek.Incr.	2,5 mm 3 mm 15 mm 140 2 mm
	Delay Richtung	45 Sek. (nach KM-Pause starten) cranio-caudal

optional Spätphase nach 2 Minuten über die Leber.

Prof. Dr. G. Richter Dr. W. Hosch T. Heye Leitender Oberarzt Oberarzt Assistenzarzt

## В EUR 16262 нормируется не эффективная доза, а CTDI и DLP

EUR 16262	Головной мозг	Грудная полость	Брюшная полость	Таз
CTDIw, мГр	60	30	35	35
DLP, мгГрхсм	1050	650	780	570

Результаты измерений, РБ	Головной мозг	Грудная полость	Брюшная полость	Таз
CTDIw, мГр	64	17	23	25
DLP, мгГрхсм	948	484	541	471
Е, мЗв	2,2	8,3	8,4	9,1

# Почему в качестве ДКУ предпочтительнее CTDI и DLP, а не эффективная доза?

- 1. CTDI и DLP показываются на консоли оператора всех новых (после ≈ 2000 года) КТ-сканеров еще до начала сканирования данного пациента
- 2. CTDI и DLP зависят от технических параметров протокола КТ-исследования, влияющих на дозу облучения пациента и качество изображений (мАс, кВ, коллимация, питч)

# Почему в качестве ДКУ предпочтительнее CTDI и DLP, а не эффективная доза?

- 3. Если ДКУ нормированы по СТDI и DLP, то в случае их превышения оператор имеет возможность изменить параметры протокола КТ-исследования до начала сканирования, тем самым снижая дозу облучения пациента
- 4. Если ДКУ нормируются по эффективной дозе, то это никак не способствует снижению дозовых нагрузок на пациента, а сводится лишь к формальной регистрации эффективной дозы в листках учета доз облучения

### Выводы

- 1. Измерены дозы облучения при основных видах КТисследований на 7 сканерах с последовательной, спиральной и многосрезовой технологиями сканирования
- 2. Имеется значительная вариабельность доз облучения на различных сканерах, что является следствием существенных отличие протоколов КТ-исследований, главным образом мАс
- 3. Не наблюдается явной тенденции к увеличению дозы облучения на спиральных и многосрезовых сканерах. Напротив, эффективные дозы при исследовании туловища оказались самыми низкими на МСКТ-6 (2005 г. в.) и самыми высокими на ПКТ (1995 г. в.)

### Выводы

- 5. Определено хорошее соответствие измеренных дозиметрических параметров и показываемых сканером (заложенных в него производителем), а также рассчитанных с помощью программы ImPACT Dosimetry
- 6. Назрела необходимость пересмотра существующих в Республике ДКУ доз облучения при КТ-исследованиях, которые не соответствуют реальным

### Выводы

- 7. В качестве дозиметрических параметров при формировании новых ДКУ целесообразнее использовать СТDI и DLP. Они отображаются всеми современными КТ-сканерами на консоли оператора и зависят от параметров протокола исследования. Это позволяет адаптировать (в сторону снижения дозы облучения) параметры сканирования непосредственно перед его началом
- 8. Имеется возможность оценить дозу облучения на всех КТ-сканерах одним из трех способов: с помощью дозиметрии, по показаниям на консоли сканера или с помощью программ расчета доз облучения (последнее подходит даже для старых сканеров)

